

Starkniederschlagshöhen und -spenden gemäß KOSTRA-DWD-2020

Rasterfeld 189193

(Zeile 189, Spalte 193)

Regenspende und Bemessungsniederschlagswerte in Abhängigkeit von Wiederkehrzeit T und Dauerstufe D

| Dauerstufe D | | Wiederkehrzeit T | | | | | | | | | | | | | | | | | |
|--------------|-----|------------------|------------|------|------------|-------|------------|-------|------------|-------|------------|-------|------------|-------|------------|-------|------------|-------|------------|
| | | 1 a | | 2 a | | 3 a | | 5 a | | 10 a | | 20 a | | 30 a | | 50 a | | 100 a | |
| min | Std | mm | l / (s ha) | mm | l / (s ha) | mm | l / (s ha) | mm | l / (s ha) | mm | l / (s ha) | mm | l / (s ha) | mm | l / (s ha) | mm | l / (s ha) | mm | l / (s ha) |
| 5 | | 7,6 | 253,3 | 9,3 | 310,0 | 10,4 | 346,7 | 11,8 | 393,3 | 13,8 | 460,0 | 15,8 | 526,7 | 17,2 | 573,3 | 19,0 | 633,3 | 21,5 | 716,7 |
| 10 | | 9,9 | 165,0 | 12,1 | 201,7 | 13,5 | 225,0 | 15,3 | 255,0 | 17,9 | 298,3 | 20,5 | 341,7 | 22,3 | 371,7 | 24,6 | 410,0 | 27,9 | 465,0 |
| 15 | | 11,3 | 125,6 | 13,9 | 154,4 | 15,5 | 172,2 | 17,5 | 194,4 | 20,5 | 227,8 | 23,6 | 262,2 | 25,6 | 284,4 | 28,2 | 313,3 | 32,0 | 355,6 |
| 20 | | 12,5 | 104,2 | 15,3 | 127,5 | 17,0 | 141,7 | 19,3 | 160,8 | 22,5 | 187,5 | 25,9 | 215,8 | 28,1 | 234,2 | 31,0 | 258,3 | 35,2 | 293,3 |
| 30 | | 14,2 | 78,9 | 17,4 | 96,7 | 19,3 | 107,2 | 21,9 | 121,7 | 25,6 | 142,2 | 29,5 | 163,9 | 32,0 | 177,8 | 35,3 | 196,1 | 40,0 | 222,2 |
| 45 | | 16,1 | 59,6 | 19,7 | 73,0 | 21,9 | 81,1 | 24,8 | 91,9 | 29,1 | 107,8 | 33,4 | 123,7 | 36,3 | 134,4 | 40,0 | 148,1 | 45,3 | 167,8 |
| 60 | 1 | 17,5 | 48,6 | 21,5 | 59,7 | 23,9 | 66,4 | 27,1 | 75,3 | 31,7 | 88,1 | 36,5 | 101,4 | 39,6 | 110,0 | 43,6 | 121,1 | 49,5 | 137,5 |
| 90 | 1,5 | 19,8 | 36,7 | 24,2 | 44,8 | 27,0 | 50,0 | 30,6 | 56,7 | 35,8 | 66,3 | 41,2 | 76,3 | 44,7 | 82,8 | 49,3 | 91,3 | 55,9 | 103,5 |
| 120 | 2 | 21,6 | 30,0 | 26,4 | 36,7 | 29,4 | 40,8 | 33,3 | 46,3 | 39,0 | 54,2 | 44,8 | 62,2 | 48,7 | 67,6 | 53,7 | 74,6 | 60,9 | 84,6 |
| 180 | 3 | 24,3 | 22,5 | 29,8 | 27,6 | 33,1 | 30,6 | 37,6 | 34,8 | 44,0 | 40,7 | 50,6 | 46,9 | 54,9 | 50,8 | 60,5 | 56,0 | 68,6 | 63,5 |
| 240 | 4 | 26,5 | 18,4 | 32,4 | 22,5 | 36,1 | 25,1 | 40,9 | 28,4 | 47,9 | 33,3 | 55,0 | 38,2 | 59,7 | 41,5 | 65,9 | 45,8 | 74,7 | 51,9 |
| 360 | 6 | 29,8 | 13,8 | 36,5 | 16,9 | 40,6 | 18,8 | 46,1 | 21,3 | 53,9 | 25,0 | 62,0 | 28,7 | 67,3 | 31,2 | 74,2 | 34,4 | 84,1 | 38,9 |
| 540 | 9 | 33,6 | 10,4 | 41,1 | 12,7 | 45,8 | 14,1 | 51,9 | 16,0 | 60,7 | 18,7 | 69,8 | 21,5 | 75,7 | 23,4 | 83,5 | 25,8 | 94,7 | 29,2 |
| 720 | 12 | 36,5 | 8,4 | 44,7 | 10,3 | 49,8 | 11,5 | 56,4 | 13,1 | 66,0 | 15,3 | 75,9 | 17,6 | 82,4 | 19,1 | 90,9 | 21,0 | 103,0 | 23,8 |
| 1080 | 18 | 41,1 | 6,3 | 50,3 | 7,8 | 56,0 | 8,6 | 63,5 | 9,8 | 74,3 | 11,5 | 85,4 | 13,2 | 92,7 | 14,3 | 102,3 | 15,8 | 116,0 | 17,9 |
| 1440 | 24 | 44,7 | 5,2 | 54,7 | 6,3 | 60,9 | 7,0 | 69,1 | 8,0 | 80,8 | 9,4 | 92,9 | 10,8 | 100,8 | 11,7 | 111,2 | 12,9 | 126,1 | 14,6 |
| 2880 | 48 | 54,7 | 3,2 | 67,0 | 3,9 | 74,6 | 4,3 | 84,5 | 4,9 | 98,9 | 5,7 | 113,7 | 6,6 | 123,4 | 7,1 | 136,1 | 7,9 | 154,3 | 8,9 |
| 4320 | 72 | 61,6 | 2,4 | 75,4 | 2,9 | 83,9 | 3,2 | 95,1 | 3,7 | 111,3 | 4,3 | 128,0 | 4,9 | 138,9 | 5,4 | 153,2 | 5,9 | 173,7 | 6,7 |
| 5760 | 96 | 66,9 | 1,9 | 81,9 | 2,4 | 91,2 | 2,6 | 103,4 | 3,0 | 121,0 | 3,5 | 139,1 | 4,0 | 151,0 | 4,4 | 166,6 | 4,8 | 188,9 | 5,5 |
| 7200 | 120 | 71,4 | 1,7 | 87,4 | 2,0 | 97,4 | 2,3 | 110,4 | 2,6 | 129,1 | 3,0 | 148,5 | 3,4 | 161,2 | 3,7 | 177,8 | 4,1 | 201,5 | 4,7 |
| 8640 | 144 | 75,3 | 1,5 | 92,2 | 1,8 | 102,7 | 2,0 | 116,4 | 2,2 | 136,2 | 2,6 | 156,6 | 3,0 | 169,9 | 3,3 | 187,4 | 3,6 | 212,5 | 4,1 |
| 10080 | 168 | 78,8 | 1,3 | 96,4 | 1,6 | 107,4 | 1,8 | 121,7 | 2,0 | 142,4 | 2,4 | 163,8 | 2,7 | 177,7 | 2,9 | 196,1 | 3,2 | 222,3 | 3,7 |

Starkniederschlagshöhen und -spenden gemäß KOSTRA-DWD-2020

Rasterfeld 189193

(Zeile 189, Spalte 193)

Örtliche Unsicherheiten in Abhängigkeit von Wiederkehrzeit T und Dauerstufe D

| Dauerstufe D | | Wiederkehrzeit T | | | | | | | | |
|--------------|-----|------------------|-----|-----|-----|------|------|------|------|-------|
| | | 1 a | 2 a | 3 a | 5 a | 10 a | 20 a | 30 a | 50 a | 100 a |
| min | Std | ± % | ± % | ± % | ± % | ± % | ± % | ± % | ± % | ± % |
| 5 | | 17 | 19 | 19 | 20 | 21 | 21 | 22 | 22 | 22 |
| 10 | | 21 | 23 | 23 | 24 | 25 | 26 | 26 | 26 | 27 |
| 15 | | 23 | 24 | 25 | 26 | 27 | 27 | 28 | 28 | 29 |
| 20 | | 23 | 25 | 25 | 26 | 27 | 28 | 28 | 29 | 29 |
| 30 | | 23 | 25 | 26 | 27 | 28 | 28 | 29 | 29 | 30 |
| 45 | | 23 | 25 | 25 | 26 | 27 | 28 | 28 | 29 | 29 |
| 60 | 1 | 23 | 24 | 25 | 26 | 27 | 28 | 28 | 28 | 29 |
| 90 | 1,5 | 21 | 23 | 24 | 25 | 26 | 26 | 27 | 27 | 28 |
| 120 | 2 | 20 | 22 | 23 | 24 | 25 | 25 | 26 | 26 | 27 |
| 180 | 3 | 19 | 20 | 21 | 22 | 23 | 24 | 24 | 25 | 25 |
| 240 | 4 | 18 | 19 | 20 | 21 | 22 | 23 | 23 | 23 | 24 |
| 360 | 6 | 17 | 18 | 19 | 19 | 20 | 21 | 21 | 22 | 22 |
| 540 | 9 | 16 | 17 | 17 | 18 | 19 | 20 | 20 | 20 | 21 |
| 720 | 12 | 15 | 16 | 17 | 17 | 18 | 19 | 19 | 19 | 20 |
| 1080 | 18 | 15 | 15 | 16 | 16 | 17 | 18 | 18 | 18 | 19 |
| 1440 | 24 | 15 | 15 | 15 | 16 | 16 | 17 | 17 | 18 | 18 |
| 2880 | 48 | 15 | 15 | 16 | 16 | 16 | 17 | 17 | 17 | 17 |
| 4320 | 72 | 17 | 16 | 16 | 16 | 17 | 17 | 17 | 17 | 17 |
| 5760 | 96 | 18 | 17 | 17 | 17 | 17 | 17 | 17 | 18 | 18 |
| 7200 | 120 | 18 | 18 | 18 | 18 | 18 | 18 | 18 | 18 | 18 |
| 8640 | 144 | 19 | 19 | 18 | 18 | 18 | 18 | 18 | 18 | 19 |
| 10080 | 168 | 20 | 19 | 19 | 19 | 19 | 19 | 19 | 19 | 19 |

Parameter für abweichende T und D

Lokationsparameter ξ (Xi)

17,74028666

Skalenparameter α (Alpha)

5,52663005

Formparameter κ (Kappa)

-0,1

1. Koutsoyiannis-Parameter θ (Theta)

0,01546451

2. Koutsoyiannis-Parameter η (Eta)

0,7088984

Parameter für dauerstufenübergreifende Extremwertschätzung nach KOUTSOYIANNIS et al. 1998.

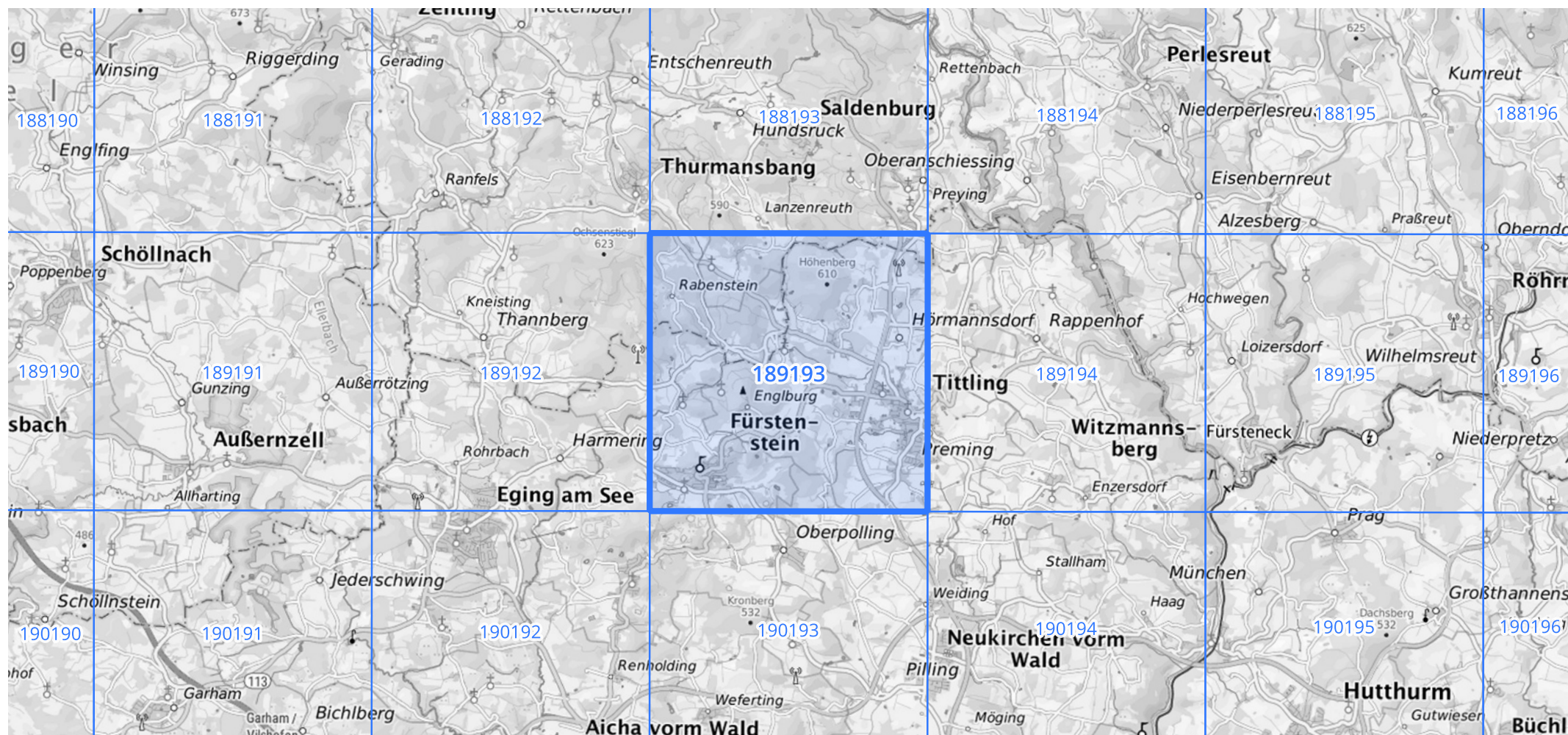
Siehe auch Anwendungshilfe zu KOSTRA-DWD-2020 des Deutschen Wetterdienstes.

Starkniederschlagshöhen und -spenden gemäß KOSTRA-DWD-2020

Rasterfeld 189193

(Zeile 189, Spalte 193)

Übersichtskarte des Rasterfeldes 189193, M 1 : 100 000



Quelle Rasterdaten: KOSTRA-DWD-2020 des Deutschen Wetterdienstes, Stand 12/2022.

Seite 3 von 3

Kartendarstellung: © Bundesamt für Kartographie und Geodäsie (2023), Datenquellen: https://sgx.geodatenzentrum.de/web_public/gdz/datenquellen/Datenquellen_TopPlusOpen.html

Für die Richtigkeit und Aktualität der Angaben wird keine Gewähr übernommen. Erstellt 01/2023.